

## ОПИСАНИЕ ИЗДЕЛИЯ

Уплотнитель **анаэробный контактный S2-02** является композицией содержащей акриловые и метакриловые эфиры, органические перекиси. Уплотнитель отверждается при выполнении одновременно двух условий: отсутствие доступа воздуха и обеспечение контакта с металлической поверхностью.

## НАЗНАЧЕНИЕ

Уплотнение плоских и винтовых соединений.

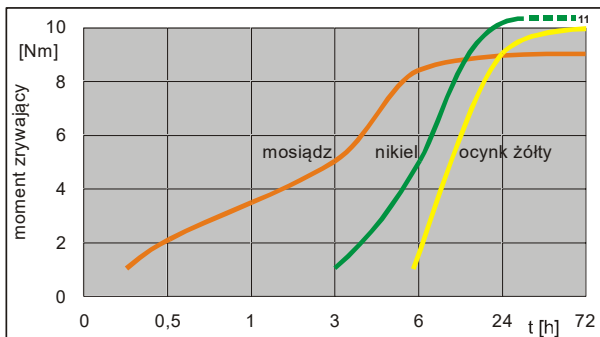
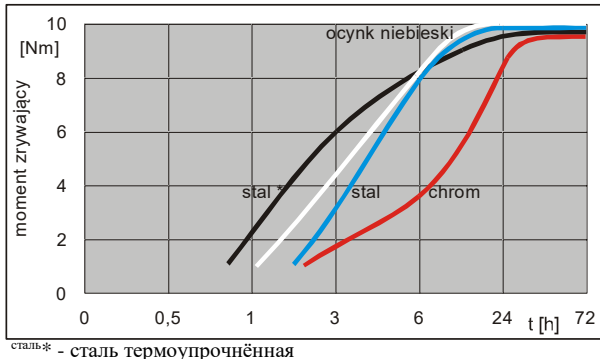
## ХАРАКТЕРИСТИКА ИЗДЕЛИЯ

|  |              |
|--|--------------|
| Консистенция                           | тиксотропная |
| Плотность [г/см <sup>3</sup> ] в 25 °C | 1.04         |
| Цвет                                   | оранжевый    |
| Температура воспламенения [°C]         | > 100        |

## ДИНАМИКА ОТВЕРЖДЕНИЯ УПЛОТНИТЕЛЯ

### Скорость отверждения в зависимости от типа поверхности

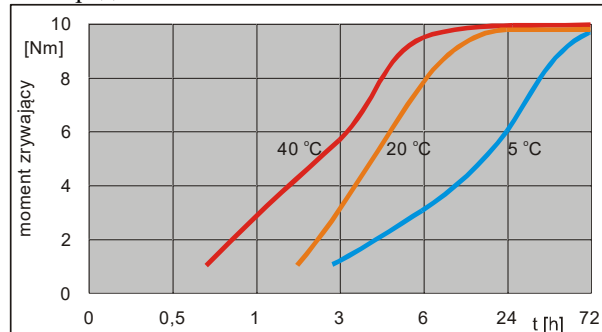
На графиках представлен рост момента срыва винтового соединения в зависимости от времени для различных поверхностей. Испытания были выполнены согласно норме ISO 10964 с использованием винтов и гаек M10 среднего качества.



### Скорость отверждения в зависимости от температуры окружающей среды

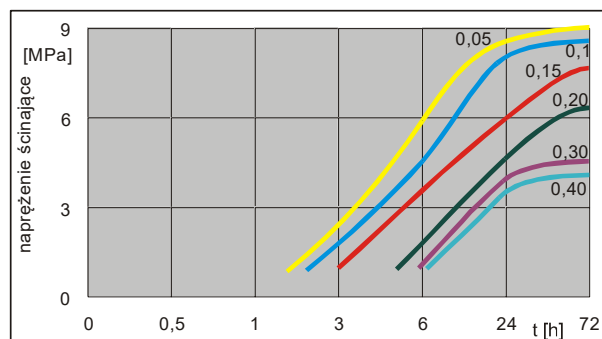
На графике представлен рост момента срыва винтового соединения в зависимости от времени при различных значениях температуры окружающей среды. Испытания были выполнены согласно норме ISO 10964 п.3.3.

ISO 10964 с использованием стальных винтов и гаек M10 среднего качества.



### Скорость отверждения в зависимости от размера зазора в соединении

На графике представлен рост срезающих усилий при растяжке в зависимости от времени и размера зазора (указанного в мм). Испытания были выполнены согласно норме DIN 53283 с использованием стальных пластинок.



## ФИЗИЧЕСКИЕ СВОЙСТВА ОТВЕРЖДЁННОГО КЛЕЯ

|   |                        |
|---|------------------------|
| Коэффициент термического расширения [1/K] | ок. $8 \times 10^{-5}$ |
| Коэффициент теплопроводности [Вт/(м·К°)]  | ок. 0.1                |
| Удельная теплоёмкость [Дж/кг К]           | ок. 300                |

## РАБОЧИЕ ХАРАКТЕРИСТИКИ

|  |       |      |
|--|-------|------|
| Величина момента срыва винтового соединения (по ISO 10964 п.3.3) | [Нм]  | 10   |
| диапазон значений мин.-макс.                                     | [Нм]  | 7-13 |
| Величина срезающих усилий (по DIN 53283)                         | [МПа] | 9    |
| диапазон значений мин.-макс.                                     | [МПа] | 6-12 |

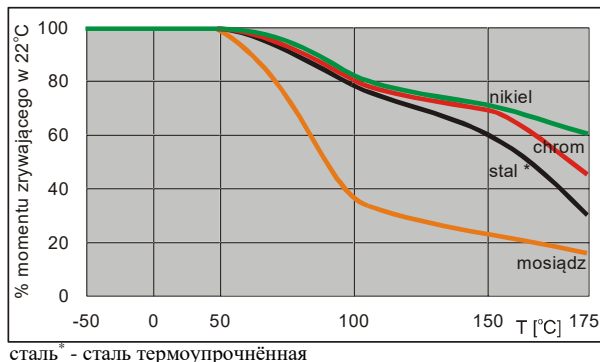
Вышеуказанные характеристики были определены по истечении 72 ч отверждения при темп. 22°C с использованием стальных болтов и гаек M10 среднего качества и стальных пластин.

## ТЕРМОСТОЙКОСТЬ

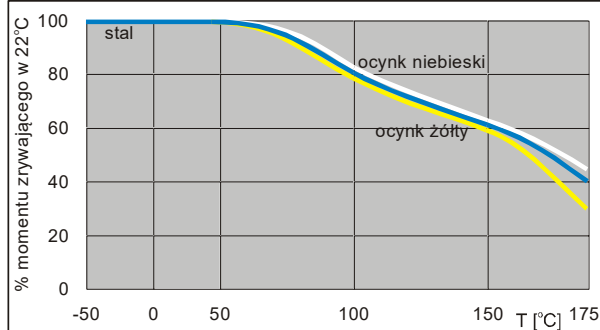
Испытания проводились по истечении 72 ч отверждения при темп. 22°C.

### Момент срыва винтового соединения в зависимости от температуры

Испытания проводились с использованием болтов и гаек M10 среднего качества. На графиках представлены изменения моментов срыва винтового соединения в зависимости от температуры для различных типов поверхности. Моменты срыва соединений проверялись согласно норме ISO 10964. Измерения момента выполнялись в данной температуре.

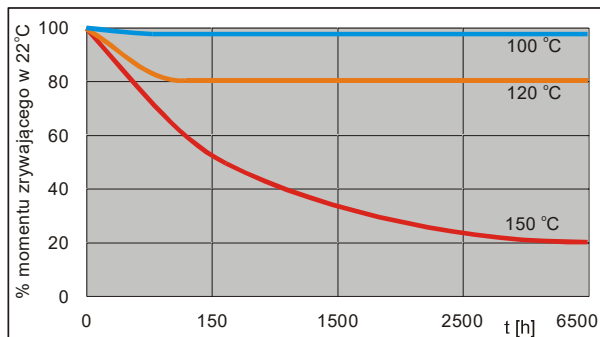


сталь\* - сталь термоупрочнённая



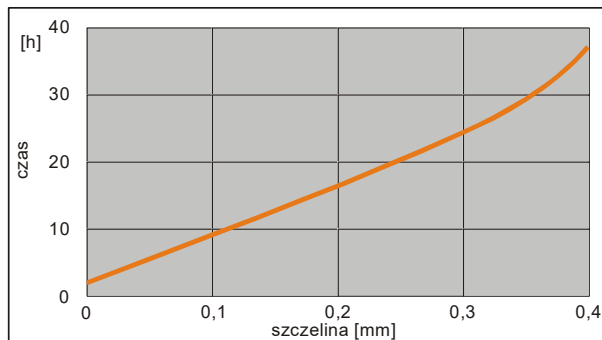
### Момент срыва винтового соединения в зависимости от времени при повышенной температуре (термическое старение)

Испытания проводились с использованием болтов и гаек M10 среднего качества. На графике представлены изменения моментов срыва винтовых соединений для поверхности покрытой цинковым покрытием с голубым хроматированным слоем, в зависимости от времени при разных температурах. Моменты срыва соединений проверялись согласно норме ISO 10964. Измерения момента выполнялись при температуре 22 °C.



### ПЛОТНОСТЬ ПЛОСКИХ СОЕДИНЕНИЙ

На графике представлено время получения плотности при давлении 0.7 МПа в плоском соединении в зависимости от величины зазора. Испытания проводились с использованием стальных фланцевых ниппелей (ширина нанесённого уплотнителя - 18 мм). Испытания давлением выполнялись при температуре 20 °C с использованием сжатого воздуха.



### ХИМИЧЕСКАЯ СТОЙКОСТЬ

| Среда                 | Химическая стойкость |
|-----------------------|----------------------|
| Бензин                | +                    |
| Газойль               | +                    |
| Тормозная жидкость    | +                    |
| Моторное масло 130 °C | +                    |
| Гликоль               | +                    |
| Керосин               | +                    |
| Азотная кислота 10%   | +                    |
| Уксусная кислота 10%  | +                    |
| Амины                 | +                    |
| Фенол                 | +                    |
| Молочная кислота      | +                    |
| Морская вода          | +                    |
| Этиловый спирт        | +                    |
| Природный горючий газ | +                    |
| Газообразный аммиак   | -                    |
| Хлор                  | -                    |
| Кислород              | -                    |

+ нет противопоказаний к применению

- не рекомендуется

Если не указано иначе, испытания проводились при температуре 22 °C.

Испытания проводились по истечении 72 ч отверждения при температуре 22 °C

Полная таблица химической стойкости находится на сайте фирмы и у региональных представителей.



05-092 Ломянки ул. Кшива 20Б Польша  
тел. +48 (22) 751 28 06 www.chester.com.pl

## Карта Технических Характеристик

Chester  
Molecular

**S2-02**

Отдел Развития Изделий

Июль 2020

Страница 3 из 3

## ОСТАЛЬНАЯ ИНФОРМАЦИЯ

### Хранение

Уплотнитель следует хранить в оригинальных упаковках при температуре от +5 °C до +28 °C. Уплотнитель в упаковке следует предохранять от каких-либо загрязнений.

### Способ применения

Предназначенные для уплотнения элементы должны быть чистыми и обезжиренными. Уплотнитель следует наносить непосредственно из упаковки (картуша) оснащённой дозатором. При первом использовании кончик дозатора следует срезать до отверстия нужного диаметра. Если из-за низкой температуры, слишком большого зазора или слабой активности поверхности скорость отверждения уплотнителя неудовлетворительная, следует применить Активатор А фирмы Chester Molecular.